

COSINE 급수를 이용한 원통형 셀의 유체 영향계수 해석

정우진*, 전재진*, 이현곤*

(An analysis on the fluid-loading coefficient of cylindrical shell using
COSINE series)

(Woo-Jin Jung, Jae-Jin Jeon, Hun-Gon Lee)

1. 서론

수중에서 외압을 받는 구조물의 기본적인 해석모델은 유체로 둘러쌓인 원통형 셀이다. 수중 구조물 주위의 유체는 밀도가 공기와 비해 크기 때문에 수중 구조물의 진동 및 방사소음 특성해석시 유체와 구조물간의 상호작용을 무시할 수 없다. 이에 따라 수중 구조물에서 유체에 의한 영향계수를 보다 정확하게 계산하는 방법이 필요하다. 수중 구조물에서 유체의 영향을 고려하는 방법에는 유한요소법/경계 요소법을 이용하는 수치 해석방법(Numerical method)과 이론적인 해석방법(Analytical method)등 크게 두가지를 이용할 수 있다. 이들 두 방법들은 각각의 장, 단점들이 있으나, 본 연구에서는 이론적인 해석방법을 사용하였다. 지금까지 발표된 이론적인 해석방법을 이용한 유체 영향계수의 해석결과들의 대부분이 원통형 셀의 경계조건을 양단 단순지지(Simply-Support)로 가정하고 원통형 셀의 반경 방향 변위(또는 속도)함을 SINE 급수를 이용하여 해석한 결과들이다[1,2,3,4]. 이와 같은 해석 모델은 양단에서 변위들이 영이 되므로 셀 양단에 끝막이 판이 있거나 다른 경계조건을 갖는 경우에는 적용을 할 수가 없다. 대부분의 수중 구조물들은 양단에 끝막이 판들이 붙어 있으므로 원통형 셀 양단에서 변위함이 영이 되지 않도록 하고 셀 양단과 끝막이 판을 결합시킬 수 있는 방법이 요구된다. 이 경우 셀의 변위(또는 속도)함을 COSINE 급수를 이용하는 것도 하나의 방법이다. 이와 관련하여 A. Harari 등이 COSINE 급수를 이용한 원통형 셀의 진동 및 방사소음 해석결과를 발

표하였다[5,6]. 그러나 이들은 COSINE 급수를 이용한 유체 영향계수에 대한 해석은 기본적인 사항을 제외하고는 언급을 하지 않고 있다. 따라서 본 연구에서는 COSINE 급수를 이용한 원통형 셀의 유체 영향계수를 해석하고 이를 SINE 급수를 이용한 경우의 유체 영향계수와 비교, 검토하였다.

2. 이론

본 연구에서는 주위 음장에 양단의 영향이 없으며, 경계가 고정되지 않은 원통형 셀을 해석하기 위하여 Fig.1 과 같이 셀 양단에 Rigid Baffle 이 있는 유한 길이의 원통형 셀 주위에 유체가 있는 해석모델을 이용하였다.

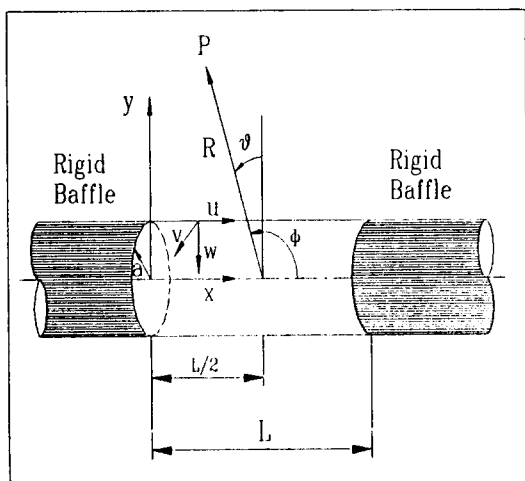


Fig. 1 Cylindrical shell and coordinates in the fluid

* 국방과학연구소 (진해)

원통형 셀 주위의 유체 음압은 Helmholtz 방정식을 이용하여 구할 수 있다.

$$\nabla^2 p + k^2 p = 0 \quad (1)$$

이때 k 는 주위 유체의 파수(Wavenumber)이다. (1)식에서 시간에 대한 음압 p 의 변화량을 $e^{i\omega t}$ 이라고 하고, p 에 대한 Fourier 변환된 압력을 \tilde{p} 라 하면

$$\tilde{p}(r, \theta, \beta) = \int_{-\infty}^{\infty} p(r, \theta, x) e^{i\beta x} dx \quad (2)$$

(1)식에 대한 Fourier 변환 및 (2)식을 이용하여 Fourier 변환된 압력 \tilde{p} 를 구하면 아래와 같다.

$$\tilde{p}(r, \theta, \beta) = \sum_0^{\infty} A_n H_n^{(2)}((k^2 - \beta^2)^{(1/2)} r) \cos(n\theta) \quad (3)$$

이때 $H_n^{(2)}((k^2 - \beta^2)^{(1/2)} r)$ 는 제 2종 Hankel 함수를 의미한다. 또한 A_n 은 미지계수값으로 반경방향으로의 셀의 변위와 음압간의 경계조건을 적용하여 구할 수 있다. 한편 Fig. 1 과 같은 모델에서 radiation condition 은 다음과 같다.

$$\frac{\partial \tilde{p}(r, \theta, \beta)}{\partial r} |_{r=a} = -\rho \omega^2 \sum_{n=0}^{\infty} \tilde{W}_n(\beta) \cos(n\theta) \quad (4)$$

이때 $\tilde{W}_n(\beta)$ 는 Fourier 변환된 셀의 반경방향 변위이며, n 은 원주방향으로의 모우드 수(Mode number)가 된다. (3)식과 (4)식을 이용하고 역 Fourier 변환(Inverse Fourier Transform)을 거쳐 음압을 구하면,

$$\begin{aligned} p(r, \theta, x) &= \frac{1}{2\pi} \int_{-\infty}^{\infty} \tilde{p}(r, \theta, \beta) e^{-i\beta x} d\beta \\ &= -\frac{\rho \omega^2}{2\pi} \sum_{n=0}^{\infty} \left[\int_{-\infty}^{\infty} \tilde{W}_n(\beta) \frac{H_n^{(2)}(\mu r)}{\mu H_n^{(2)}(\mu a)} \right. \\ &\quad \left. \times e^{-i\beta x} d\beta \right] \cos(n\theta) \end{aligned} \quad (5)$$

여기서 $H_n^{(2)}(\mu a)$ 는 Hankel함수의 인자(argument)에 대한 미분을 의미하며, $\mu = (k^2 - \beta^2)^{(1/2)}$ 이다. 그런데 길이가 L 인 원통형 셀의 변위를 (6)식과 같이 COSINE 급수를 이용하여 나타내면 다음과 같다.

$$W_n(x) = \sum_{m=0}^{\infty} W_{mn} \cos\left(\frac{m\pi x}{L}\right) \quad (6)$$

이때 m 은 길이방향으로의 원통형 셀의 모우드 수(Mode number)이다. (6)식을 (5)식에 대입하고, 원통형 셀의 변위와 속도사이에 $\Omega_{mn} = (i\omega)W_{mn}$ 의 관계가 있으므로 이를 이용하여 정리하면 다음과 같다.

$$\begin{aligned} p(r, \theta, x) &= \frac{i\omega\rho}{\pi} \sum_{m=0}^{\infty} \sum_{n=0}^{\infty} \Omega_{mn} \left[\int_0^{\infty} \psi_m(x, \beta) \right. \\ &\quad \left. \times \frac{H_n^{(2)}(\mu r)}{\mu H_n^{(2)}(\mu a)} d\beta \right] \cos(n\theta) \end{aligned} \quad (7)$$

$$\begin{aligned} \psi_m(x, \beta) &= \frac{\beta}{\beta^2 - \left(\frac{m\pi}{L}\right)^2} [(-1)^m \sin(\beta(L-x)) \\ &\quad + \sin\beta x] \end{aligned} \quad (8)$$

(7)식에서 적분구간은 β 의 값에 따라서 $[0, k]$ 와 $[k, \infty]$ 으로 나눌 수 있다. 이때 $k < \beta < \infty$ 구간에서는 $\mu^* = (\beta^2 - k^2)^{(1/2)}$ 를 이용하여 제 2종 Hankel 함수의 인자를 나타내면 $-i\mu^*$ 로 되며 이는 허수이다. 그런데 허수 인자를 갖는 Hankel 함수는 실수 인자를 갖는 Modified Bessel 함수 K_n 으로 표현할 수 있다[7]. 이를 이용하여 (7)식을 정리하면,

$$\begin{aligned} p(r, \theta, x) &= \frac{i\omega\rho}{\pi} \sum_{m=0}^{\infty} \sum_{n=0}^{\infty} \Omega_{mn} \left[\int_0^k \psi_m(x, \beta) \right. \\ &\quad \left. \times \frac{H_n^{(2)}(\mu r)}{\mu H_n^{(2)}(\mu a)} d\beta + \int_k^{\infty} \psi_m(x, \beta) \right. \\ &\quad \left. \times \frac{K_n(\mu^* r)}{\mu^* K_n(\mu^* a)} d\beta \right] \cos(n\theta) \end{aligned}$$

또는,

$$p(r, \theta, x) = \sum_{n=0}^{\infty} \left[\sum_{m=0}^{\infty} T_{mn}(-\Omega_{mn}) \right] \cos(n\theta) \quad (9)$$

이때 속도앞에 “-”를 붙인 이유는 음압이 원통형 셀에서 밖으로 나가는 유체입자에 의한 양을 의미하는 것으로, 본 연구에서는 + 반경방향을 안쪽으로 향하는 방향으로 하였기 때문이다. 따라서 (9)식을 이용하여 원주방향 n 차 모우드, 길이방향 r 차 모우드의 음압성분인 p_m 을 구하면

$$p_m = \left(\frac{2}{\epsilon_r L} \right) \sum_{m=0}^{\infty} \left[\int_0^L T_{mn}(a, x) \cos\left(\frac{r\pi x}{L}\right) \right] \Omega_{mn}$$

(단, $r=0$ 일 때 $\epsilon_r = 2$, $r \neq 0$ 일 때 $\epsilon_r = 1$)

$$\text{또는, } p_m = \sum_{m=0}^{\infty} Z_{mn} (-\Omega_{mn}) \quad (10)$$

(10)식에서 Z_{mn} 은 원통형 셀 표면속도 Ω_{mn} 과 원통형 셀 표면에서의 음압 p_m 사이의 관계를 나타내는 값으로 유체 영향 계수(Fluid loading coefficient)라고 한다. 이때 Z_{mn} 은 다음과 같이 나타낼 수 있다.

$$Z_{mn} = \rho c (R_{mn} + i \alpha M_{mn}) \quad (11)$$

이때 α 는 ka 로 무차원 값이다. 식(11)에서 R_{mn} 은 Resistance를 나타내며, M_{mn} 은 질량 Reactance 를 나타낸다. 이들 R_{mn} , M_{mn} 계산시 Hankel 함수의 인자 μa , $\mu^* a$ 대신 무차원 수인 η , η^* 를 이용하고, 변수 βa 는 무차원 수 ξ 를 이용하면 다음과 같다.

$$\begin{aligned} R_{mn} &= \left(\frac{1}{\epsilon_a}\right) \left(\frac{4}{\pi^2} a\right) \left(\frac{a}{L}\right) \int_0^\infty \frac{\phi_{mn}(\xi) d\xi}{\eta^2 |H_n^{(2)}(\eta)|^2} \\ M_{mn} &= \left(\frac{1}{\epsilon_a}\right) \left(-\frac{2}{\pi}\right) \left(\frac{a}{L}\right) \left[\int_0^\infty \phi_{mn} \times \frac{J_n(\eta) J_n^{(2)}(\eta) + Y_n(\eta) Y_n^{(2)}(\eta)}{\eta |H_n^{(2)}(\eta)|^2} d\xi \right. \\ &\quad \left. + \int_\infty^\infty \phi_{mn}(\xi) \frac{K_n(\eta^*)}{\eta^* K_n(\eta^*)} d\xi \right] \\ \phi_{mn}(\xi) &= \frac{\xi^2}{(\xi^2 - K_m^2)(\xi^2 - K_r^2)} [1 + (-1)^{m+r}] \times \\ &\quad [1 - (-1)^m \cos(L\xi/a)] \end{aligned}$$

$$\text{단, } K_m = \left(\frac{m\pi a}{L}\right), \quad K_r = \left(\frac{r\pi a}{L}\right) \quad (12)$$

식(12)를 참고문헌 [1]에서 제시한 SINE 급수를 이용하여 구한 유체 영향계수와 비교하여 보면, SINE 급수를 이용하는 경우 함수 $\phi_{mn}(\xi)$ 의 분자항에서 $K_m \times K_r$ 이 되나, 본 연구에서와 같이 COSINE 급수를 이용하는 경우는 $\xi \times \xi$ 가 되는 차이점이 있음을 알 수 있다. 또한 $\phi_{mn}(\xi)$ 로부터 $m+r=0$ 인 경우에만 유체 영향계수의 값이 존재한다는 사실과 Z_{mn} 값과 Z_{mn} 값이 서로 같게 되는 상반성질(Reciprocity)을 갖는 것도 알 수 있다. 식(12)에 대한 해석적인 해를 구하기는 이

려우므로 수치 적분 방법을 이용하여야 한다. 이를 위하여 참고문헌[1]에서 제시한 변수변환법을 적용하였다. 즉 다음과 같은 매개변수를 이용하면

$$\xi = \begin{cases} \alpha \sin \theta & 0 \leq \xi \leq \alpha \\ (\alpha^2 + \lambda^2 \sin^2 \theta)^{(1/2)} & \alpha \leq \xi \leq (\alpha^2 + \lambda^2)^{(1/2)} \\ (\alpha^2 + \lambda^2 \sec^2 \theta)^{(1/2)} & (\alpha^2 + \lambda^2)^{(1/2)} \leq \xi \leq \infty \end{cases}$$

$$0 \leq \theta \leq \frac{\pi}{2} \quad (13)$$

이때 λ 를 확대 계수(Scale Parameter)라고 한다. (13)식을 (12)식에 대입하고 정리하면 R_{mn} 부분과 관련된 함수 1개와 M_{mn} 부분과 관련된 함수 3개 등 총 4개의 함수 형태로 표시된다. 이들을 각각 $F_{mn}^i(\theta; \alpha)$, $i=1, 2, 4$ 라고 하면 R_{mn} , M_{mn} 는 다음과 같다.

$$R_{mn} = \left(\frac{a}{L}\right) \int_0^{\pi/2} F_{mn}^1(\theta; \alpha) d\theta \quad (14)$$

$$M_{mn} = \left(\frac{a}{L}\right) \int_0^{\pi/2} \left\{ \sum_{i=2}^4 F_{mn}^i(\theta; \alpha) \right\} d\theta$$

식(14)을 푸는 수치해법은 여러 가지가 있으나 본 연구에서는 Fourth-order Runge-Kutta 방법을 이용하였다. 이때 필요한 초기조건 값들은 아래와 같다.

$$F_{mn}^1(0; 0) = F_{mn}^2(0; 0) = F_{mn}^3(0; 0) = F_{mn}^4(0; 0) = 0$$

$$F_{mn}^1(0; \alpha) = F_{mn}^2(0; \alpha) = F_{mn}^3(0; \alpha) = F_{mn}^4(0; \alpha) = 0$$

$$F_{mn}^1(\theta; 0) = 0$$

$$F_{mn}^2(\theta; 0) = 0$$

$$F_{mn}^3(\theta; 0) = \left(\frac{1}{\epsilon_a}\right) \left(-\frac{2}{\pi}\right) \phi_{mn}(\lambda \sin \theta) \times \\ \frac{K_n(\lambda \sin \theta) \cos \theta}{\sin \theta K_n(\lambda \sin \theta)}$$

$$F_{mn}^4(\theta; 0) = \left(\frac{1}{\epsilon_a}\right) \left(-\frac{2}{\pi}\right) \phi_{mn}(\lambda \sec \theta) \times \\ \frac{K_n(\lambda \sec \theta) \tan \theta}{K_n(\lambda \sec \theta)} \quad (15)$$

3. 수치 계산 결과 및 검토

본 연구에서 이용한 해석방법의 타당성을 살펴보기 위하여 SINE 급수를 이용한 해석결과들[1,2,3]과 비교하였다. Fig.2 는 COSINE 급수를 이용하여 자기모드(Direct mode)에 대한 해석결과를 Resistance와 Reactance 항으로 나타낸 그림이며, Fig.3 은 SINE 급수를 이용하여 B.E.Sandman 이 제시한 해석 결과[1]를 나타낸 그림이다. Fig.4 는 COSINE 급수를 이용하여 Direct mode에 대한 해석 결과를 Resistance와 Reactance 항에 무차원 파수(Non-dimensional wave number)를 곱한 값으로 나타낸 그림이며, Fig.5 는 SINE 급수를 이용하여 P.R.Stepanishen 이 제시한 해석 결과[2,3]를 나타낸 그림이다. 이 결과 COSINE 급수를 이용한 해석 결과에서 높은 무차원 파수 ka 값 대역에서는 약간의 변동치들을 보이고 있으나 Reactance 값은 0 으로, Resistance 값은 1 로 접근하는 경향을 보이고 있어 본 연구에서 이용한 해석방법도 원통형 물수체의 음압복사(Sound radiation)를 계산하는데 유용하게 사용될 수 있음을 알 수 있다.

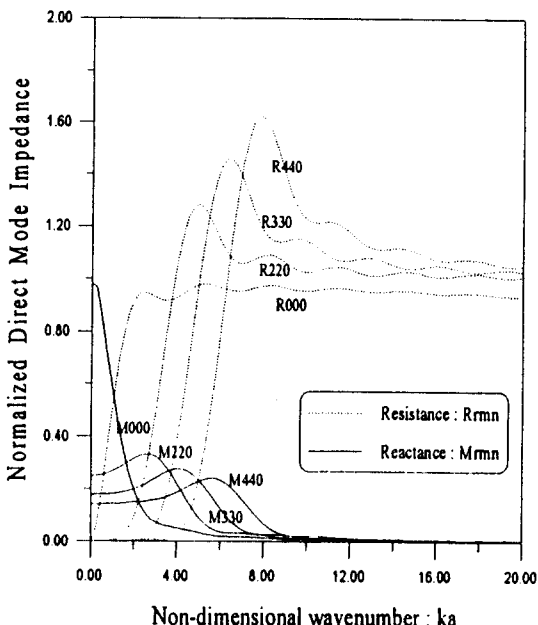


Fig.2 Fluid loading coefficients using COSINE series for a cylindrical shell with $a/L=0.5$

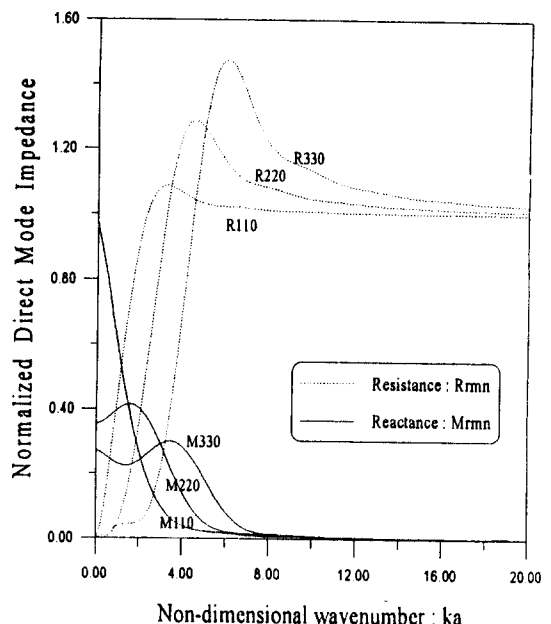


Fig.3 Fluid loading coefficients using SINE series for a cylindrical shell with $a/L=0.5$

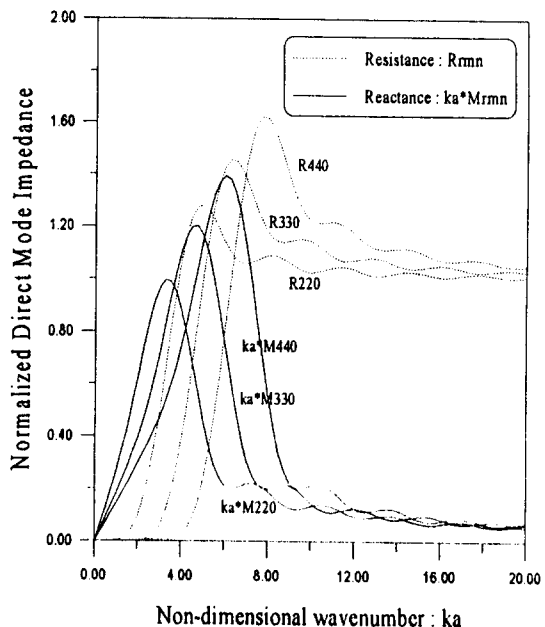


Fig.4 Fluid loading coefficients with ka using COSINE series for a cylindrical shell with $a/L=0.5$

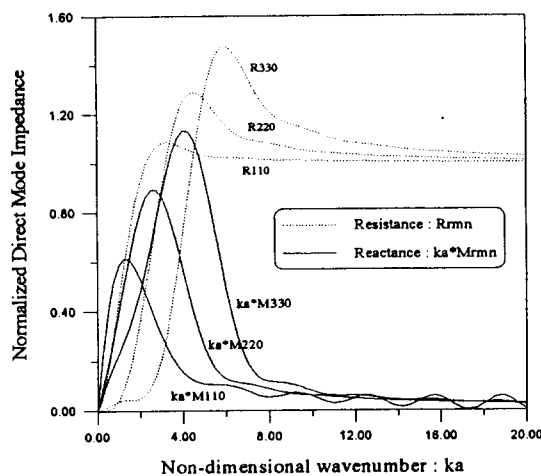


Fig.5 Fluid loading coefficients with ka using SINE series for a cylindrical shell with $a/L=0.5$

Fig. 6 에는 COSINE 급수와 SINE 급수를 이용한 Cross mode에 대한 결과를 나타내었다. 이로부터 Cross mode에서는 음을 방사하는 음압과 속도의 위상이 일치하지 않으며, ka 값이 증가함에 따라 0으로 접근하므로 높은 ka 영역에서는 Cross mode가 음압복사에 영향을 주지 못하는 것을 알 수 있다. 따라서 높은 ka 영역에서의 음압복사 해석시 Cross mode를 심각하게 고려하지 않아도 된다는 사실을 알 수 있다.

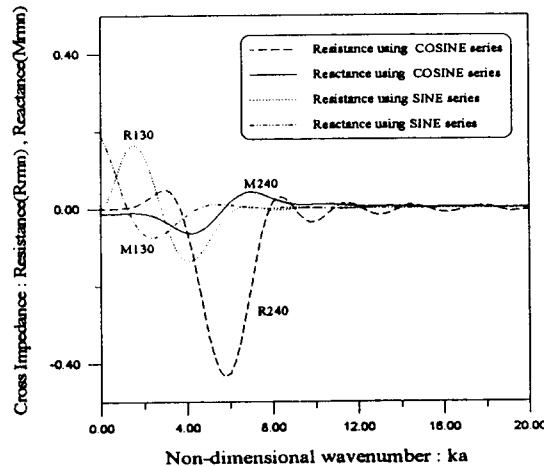


Fig.6 Cross mode impedances using COSINE and SINE series, respectively

Fig.7 과 Fig.8 에는 COSINE 급수를 이용하여 원주방향 진동모드($n=2, 8$)와 길이방향 진동모드($r=2, 4, m=2, 4$)에 대한 자기모드 Impedance의 계산 결과를 수록하였다. 이 결과 원주방향과 길이방향으로 고차 모드로 갈수록 높은 파수(Wavenumber)에서 최대값이 나타나고 있으며 이는 고차모드의 영향을 보여주는 것이다. 또한 파수가 커짐에 따라 Reactance 항이 감소하므로 임피던스는 Resistance에 지배받고 있음을 알 수 있다.

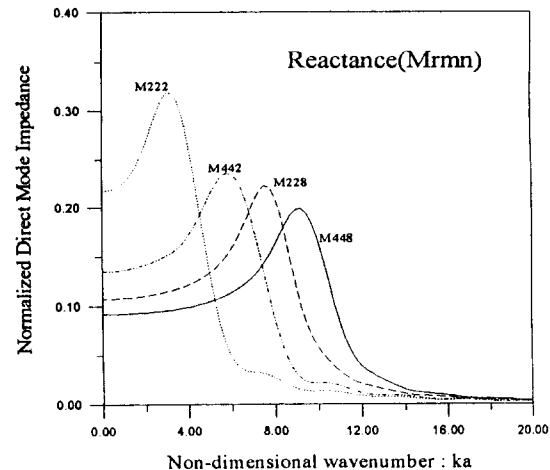


Fig.7 Reactance in accordance with structural mode number(r,m) with $a/L=0.5$

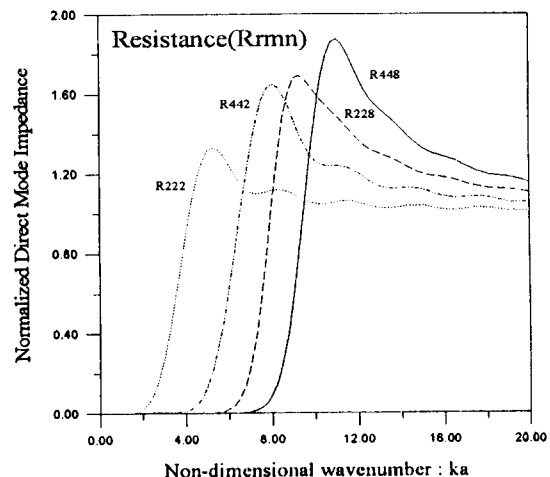


Fig.8 Resistance in accordance with structural mode number(r,m) with $a/L=0.5$

4. 결론

COSINE 급수를 이용한 유동 경이 원통형 셀의 유체 영향계수에 대한 해석 결과를 양단 단순지지 조건 (Simply-supported condition)을 갖는 해석모델에서 이용한 SINE 급수를 사용한 해석 결과와 비교, 검토한 결과 유사한 경향을 보이고 있으며, 무차원 파수 ka 값이 커질수록 Reactance는 0으로 접근하고 Resistance는 ρc 값으로 접근하는 경향을 가지고 있어 타당한 해석방법임을 알 수 있었다. 따라서 양단에 끝막이 판을 갖고 있는 원통형 셀에 대한 음압복사 현상을 해석하는데 COSINE 급수를 이용하는 것이 가능함을 본 연구를 통하여 확인하였다. 또한 본 연구에서 유도한 Z_{mn} 값을 이용하면 양단에 끝막이 판을 갖고 있는 원통형 셀에서의 유체 효과를 용이하게 해석할 수 있다.

5. 참고 문헌

1. Sandman,B.E., 1976, "Numerical fluid loading coefficients for the modal velocities of a cylindrical shell", Computers & Structures, vol.6, pp.467-473
2. Stepanishen,P.R., 1978, "Radiated power and radiation loading of cylindrical surfaces with nonuniform velocity distribution", J.Acoust.Soc.Am., vol.63, no.2, pp.328-338
3. Stepanishen,P.R., 1982, "Modal coupling in the vibration of fluid loaded cylindrical shells", J.Acoust.Soc.Am., vol.71, no.4, pp.813-823
4. Laulagnet,B.,and Guyader,J.L.,1989, "Modal analysis of a shell's acoustic radiation in light and heavy fluids", Journal of Sound and Vibration, vol.131, no.3, pp.397-415
5. Harari,A.,and Sandman,B.E., 1990, "Radiation and vibrational properties of submerged stiffened cylindrical shells", J.Acoust.Soc.Am., vol.88, no.2, pp.1817-1830
6. Harari,A., Sandman,B.E.,and Zaldonis,J.A., 1990, "Analytical and experimental determination of the vibration and pressure radiation from a submerged, stiffened cylindrical shell with two end plates", J.Acoust.Soc.Am., vol.95, no.6, pp.3360-3368
7. Junger,M.C.,and Feit,D., 1986, "Sound,structure and their interaction, second edition", The MIT Press, pp. 168-169